

**УДК 681.51**

**МОДЕЛИРОВАНИЕ ДВИЖЕНИЯ  
БЕСПИЛОТНЫХ ЛЕТАТЕЛЬНЫХ  
АППАРАТОВ КВАДРОРОТАЦИОННОГО  
ТИПА**

**С.Ф. Яцун, Н.И Попов, О.В. Емельянова, А.И. Савин**  
(teormeh@inbox.ru)

**ГОУ ВПО "Юго-Западный государственный  
университет", Курск, Россия**

В работе рассмотрены вопросы математического моделирования движения квадрокоптера, с учетом массогабаритных свойств четырёх электроприводов, снабженных редуктором. Приведена расчетная схема и составлены дифференциальные уравнения на основе общих теорем динамики, которые описывают взаимосвязанные электромагнитные и механические процессы в электромеханической системе приводов винтов квадрокоптера. Предложенные нелинейные дифференциальные уравнения решаются совместно с кинематическими соотношениями, выражающие проекции угловой скорости тела на оси связанной системы координат через угловые скорости углов крена, тангажа и рысканья.

### **Введение**

Квадрокоптер – это летательный аппарат с четырьмя несущими винтами, вращающимися диагонально в противоположных направлениях. Он обладает рядом преимуществ по сравнению с беспилотными аналогами самолётного типа, таких как: возможность вертикального взлёта и посадки, маневренность в полёте, малая взлетная масса при существенной массе полезной нагрузки, надежность и компактность. Благодаря простоте конструкции квадрокоптеры часто используются в любительском моделировании, удобны для недорогой аэрофото- и киносъёмки — громоздкая камера вынесена из зоны действия винтов.

Для изучения основных закономерностей движения квадрокоптера, особенностей системы управления необходимой для стабилизации аппарата в заданном положении и движении центра масс по заданной



роторов  $A_1, A_2, A_3, A_4$ , причем силы  $\bar{F}_i$  параллельны оси  $CZ_i$ . Силы тяжести корпуса  $m_C g$  и роторов винтов  $m_i g$  приложены в точках  $C$  и  $A_i$  соответственно (рис. 1) [Попов и др 2014а], [Попов и др 2014б].

Положение центра масс квадрокоптера определяет радиус- вектор  $r_{OC}=[X, Y, Z]^T$ .

Условимся в дальнейшем векторы в системы координат  $OXYZ$  и  $CX_i Y_i Z_i$  обозначать символами  $^{(0)}$  и  $^{(1)}$  соответственно. Тогда, например, проекции векторов сил в  $^{(0)}$  системе координат можно выразить через проекции сил в  $^{(1)}$  системе координат с помощью выражения:

$$F_i^{(0)} = T_{10} \cdot F_i^{(1)}, \quad (1)$$

где  $T_{10}$  - матрица перехода из  $^{(1)}$  в  $^{(0)}$  систему координат.

Матрица  $T_{10}$  получается путем перемножения трёх основных матриц вращения и имеет следующий вид [Bresciani, 2008], [Tahar, 2011], [Павловский и др 1990]:

$$T_{10} = (\psi, \theta, \varphi) = R(z, \psi) \times R(y, \theta) \times R(x, \varphi) = \begin{bmatrix} \cos \psi \cos \theta & \cos \psi \sin \theta \sin \varphi - \cos \varphi \sin \psi & \sin \psi \sin \theta \sin \varphi + \cos \psi \cos \theta \sin \varphi \\ \sin \psi \cos \theta & \sin \psi \sin \theta \sin \varphi + \cos \varphi \sin \psi & \cos \psi \sin \theta \sin \varphi - \cos \varphi \cos \psi \\ -\sin \theta & \cos \theta \sin \varphi & \cos \theta \cos \varphi \end{bmatrix} \quad (2)$$

Запишем очевидное равенство:

$$r_{OA_i}^{(0)} = \bar{r}_{OC}^{(0)} + \bar{r}_{CA_i}^{(0)}, \quad (3)$$

где

$$\bar{r}_{CA_i}^{(0)} = T_{10} \cdot \bar{r}_{CA_i}^{(1)}. \quad (4)$$

Векторы  $\bar{r}_{CA_i}^{(1)}$  для точек  $A_i$  имеют вид:

$$\bar{r}_{CA1}^{(1)} = \begin{bmatrix} l \\ 0 \\ 0 \end{bmatrix}, \quad \bar{r}_{CA2}^{(1)} = \begin{bmatrix} 0 \\ -l \\ 0 \end{bmatrix}, \quad \bar{r}_{CA3}^{(1)} = \begin{bmatrix} -l \\ 0 \\ 0 \end{bmatrix}, \quad \bar{r}_{CA4}^{(1)} = \begin{bmatrix} 0 \\ l \\ 0 \end{bmatrix}, \quad (5)$$

где  $l$  – расстояние от центра масс квадрокоптера  $C$  до центра масс роторов  $A_i$ .

Скорости точек  $A_i$  определим, продифференцировав равенство (3) по времени:

$$\bar{v}_{A_i}^{(0)} = \frac{\bar{r}_{OA_i}^{(0)}}{dt} = \frac{\bar{r}_{OC}^{(0)}}{dt} + \frac{\bar{r}_{CA_i}^{(0)}}{dt} \quad (6)$$

Производная по времени от равенства (4) даёт:

$$\bar{v}_{A_i}^{(0)} = \bar{v}_N^{(0)} + \dot{T}_{10} \cdot \bar{r}_{CA_i}^{(1)} \quad (7)$$

где  $\bar{v}_N^{(0)} = \dot{\bar{X}} + \dot{\bar{Y}} + \dot{\bar{Z}}$  - скорость центра масс квадрокоптера.

Определим количество движения  $i$ -ой массы по формуле:

$$\bar{q}_i = m_i \bar{v}_{A_i} = m_i (\bar{v}_N + \dot{T}_{10} \cdot \bar{r}_{CA_i}^{(1)}) \quad (8)$$

Изменение количества движения найдём из выражения:

$$\frac{d\bar{q}_i}{dt} = m_i \left( \frac{d\bar{v}_C}{dt} + \ddot{T}_{10} \cdot \bar{r}_{CA_i}^{(1)} \right) = T_{10} \bar{F}_i^{(1)} \quad (9)$$

Вектор количества движения рассматриваемой системы, состоящей из корпуса и 4 винтов, определим по формуле:

$$\bar{Q} = m_C \bar{v}_C + \sum_{i=1}^4 m_{A_i} \bar{v}_{A_i} \quad (10)$$

Запишем теорему об изменении количества движения механической системы в дифференциальной форме:

$$\frac{d\bar{Q}}{dt} = m_C \frac{d\bar{v}_C}{dt} + \sum m_i \left( \frac{d\bar{v}_C}{dt} + \ddot{T}_{10} \cdot \bar{r}_{CA_i}^{(1)} \right) = (m_C + \sum m_i) \frac{d\bar{v}_C}{dt} + \ddot{T}_{10} \sum m_i \bar{r}_{CA_i}^{(1)} = T_{10} \sum \bar{F}_i^{(1)} \quad (11)$$

После соответствующих преобразований получим систему дифференциальных уравнений, описывающих движение центра масс рассматриваемой системы (квадрокоптера).

$$\begin{cases} m\ddot{X} = (\sin \psi \sin \varphi + \cos \psi \cos \varphi \sin \theta) \cdot \sum F_i^{(1)} \\ m\ddot{Y} = (\cos \varphi \sin \psi \sin \theta - \cos \psi \sin) \cdot \sum F_i^{(1)} \\ m\ddot{Z} = \cos \varphi \cos \theta \cdot \sum F_i^{(1)} - mg \end{cases} \quad (12)$$

где  $m = m_C + m_i$  – общая масса квадрокоптера,

Рассмотрим угловые скорости вращения роторов квадрокоптера в локальной системе координат  $CX_1Y_1Z_1$  (рис.2). Для этого введем систему координат  $A_i x_i y_i z_i$ , которая совпадает с центром масс  $m_i$  роторов.

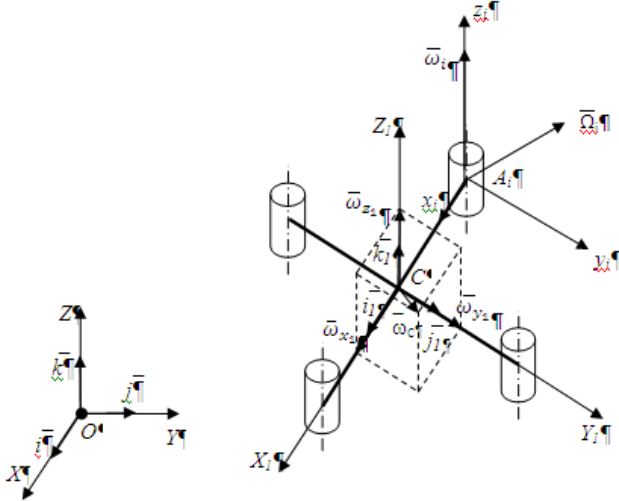


Рис.2. Расчетная схема определения кинетического момента квадрокоптера

Вектор абсолютной угловой скорости вращения  $i$ -ого ротора определим по формуле:

$$\bar{\Omega}_i = \bar{\omega}_i + \bar{\omega}_C, \quad i=1..4; \quad (13)$$

$$\bar{\omega}_i = \bar{i}_i \omega_{ix} + \bar{j}_i \omega_{iy} + \bar{k}_i \omega_{iz};$$

$$\bar{\omega}_C = \bar{i}_1 \omega_{CX_1} + \bar{j}_1 \omega_{CY_1} + \bar{k}_1 \omega_{CZ_1}, \quad (14)$$

где  $i_l, j_l, k_l$  и  $i_i, j_i, k_i$  - единичные векторы системы координат  $CX_1Y_1Z_1$  и  $A_i x_i y_i z_i$ ,  $\bar{\Omega}_i$  - абсолютная угловая скорость вращения  $i$ -ого ротора в системе координат  $CX_1Y_1Z_1$ ;  $\bar{\omega}_C, \bar{\omega}_i$  - векторы угловых скоростей вращения корпуса и  $i$ -ого ротора в системе координат  $CX_1Y_1Z_1$  и  $A_i x_i y_i z_i$  представим в виде:

$$\bar{\omega}_C = \begin{vmatrix} \omega_{X_1} \\ \omega_{Y_1} \\ \omega_{Z_1} \end{vmatrix}, \quad \bar{\omega}_i = \begin{vmatrix} 0 \\ 0 \\ \omega_i \end{vmatrix}, \quad \bar{\Omega}_i = \begin{vmatrix} \omega_{x_1} \\ \omega_{y_1} \\ \omega_i + \omega_{Z_1} \end{vmatrix} \quad (15)$$

или

$$\bar{\Omega}_i = \bar{i}_i \Omega_x + \bar{j}_i \Omega_y + \bar{k}_i \Omega_z \quad (16)$$

Определим момент количества движения ротора в системе координат  $A_i x_i y_i z_i$

$$\bar{L}_{iA_i} = I_{A_i} \bar{\Omega}_i, \quad (17)$$

где  $I_{iA_i} = \begin{vmatrix} J_{A_i}^x & 0 & 0 \\ 0 & J_{A_i}^y & 0 \\ 0 & 0 & J_{A_i}^z \end{vmatrix}$  - тензор инерции ротора.

Тогда кинетический момент равен:

$$\bar{L}_{iA_i} = \begin{vmatrix} J_{A_i}^x & 0 & 0 \\ 0 & J_{A_i}^y & 0 \\ 0 & 0 & J_{A_i}^z \end{vmatrix} \begin{vmatrix} \omega_{X_1} \\ \omega_{Y_1} \\ \omega_i + \omega_{Z_1} \end{vmatrix} = \begin{vmatrix} J_{A_i}^x \omega_{X_1} \\ J_{A_i}^y \omega_{Y_1} \\ J_{A_i}^z (\omega_i + \omega_{Z_1}) \end{vmatrix} \quad (18)$$

Определим момент количества движения в системы:

$$\bar{L} = \bar{L}_C + \sum \bar{L}_i, \quad (19)$$

где  $\bar{L}_C = I_C \bar{\omega}_C$  - кинетический момент корпуса относительно центра масс квадрокоптера;

$\bar{L}_i = I_i \bar{\Omega}_i = (I_{A_i} + m_i l^2) \bar{\Omega}_i$  - кинетический момент  $i$ -ого ротора относительно центра масс квадрокоптера в системе координат  $CX_1Y_1Z_1$ .

Тензоры инерции корпуса  $I_C$  и  $i$ -ого ротора  $I_i$  с учетом того, что главные оси инерции механической системы являются главными центральными осями инерции равны:

$$I_C = \begin{vmatrix} J_C^{X_1} & 0 & 0 \\ 0 & J_C^Y & 0 \\ 0 & 0 & J_C^{Z_1} \end{vmatrix}; \quad I_i = \begin{vmatrix} J_{A_i}^x + m_i l^2 & 0 & 0 \\ 0 & J_{A_i}^y + m_i l^2 & 0 \\ 0 & 0 & J_{A_i}^z + m_i l^2 \end{vmatrix} \quad (20)$$

Тогда:

$$\bar{L}_C = \begin{vmatrix} J_C^{X_1} & 0 & 0 \\ 0 & J_C^Y & 0 \\ 0 & 0 & J_C^{Z_1} \end{vmatrix} \begin{vmatrix} \omega_{X_1} \\ \omega_{Y_1} \\ \omega_{Z_1} \end{vmatrix} = \begin{vmatrix} J_C^{X_1} \omega_{X_1} \\ J_C^Y \omega_{Y_1} \\ J_C^{Z_1} \omega_{Z_1} \end{vmatrix} \quad (21)$$

$$\bar{L}_i = \begin{vmatrix} J_{A_i}^x + m_i l^2 & 0 & 0 \\ 0 & J_{A_i}^y + m_i l^2 & 0 \\ 0 & 0 & J_{A_i}^z + m_i l^2 \end{vmatrix} \begin{vmatrix} \omega_{X_1} \\ \omega_{Y_1} \\ \omega_i + \omega_{Z_1} \end{vmatrix} = \begin{vmatrix} (J_{A_i}^x + m_i l^2) \omega_{X_1} \\ (J_{A_i}^y + m_i l^2) \omega_{Y_1} \\ (J_{A_i}^z + m_i l^2) (\omega_i + \omega_{Z_1}) \end{vmatrix} \quad (22)$$

С учетом (21), (22) выражение (19) будет иметь вид:

$$L = \begin{vmatrix} (J_C^{X_1} + \sum J_{A_i}^x + \sum m_i l^2) \omega_{X_1} \\ (J_C^Y + \sum J_{A_i}^y + \sum m_i l^2) \omega_{Y_1} \\ (J_C^{Z_1} + \sum J_{A_i}^z + \sum m_i l^2) \omega_{Z_1} + (\sum J_{A_i}^z + \sum m_i l^2) \omega_i \end{vmatrix} = \begin{vmatrix} J^{X_1} \omega_{X_1} \\ J^Y \omega_{Y_1} \\ J^{Z_1} \omega_{Z_1} + \sum J_i^z \omega_i \end{vmatrix}, \quad (23)$$

где  $J^{X_1} = J_C^{X_1} + \sum J_{A_i}^x + \sum m_i l^2$ ,  $J^Y = J_C^Y + \sum J_{A_i}^y + \sum m_i l^2$ ,  $J^{Z_1} = J_C^{Z_1} + \sum J_{A_i}^z + \sum m_i l^2$ ,  
 $\sum J_i^z = \sum J_{A_i}^z + \sum m_i l^2$  - приведенные осевые моменты инерции.

Для получения системы дифференциальных уравнений, описывающих вращение рассматриваемой системы, применим теорему об изменении кинетического момента механической системы [Павловский и др 1990]:

$$\frac{d\bar{L}}{dt} = \frac{d\bar{L}}{dt} + (\bar{\omega}_C \times \bar{L}) = \sum \bar{M}_C^e \quad (24)$$

$$\frac{d\bar{L}}{dt} = \begin{vmatrix} J^{X_1} \dot{\omega}_{X_1} + \omega_{Y_1} \omega_{Z_1} (J_i^{Z_1} - J^{Y_1}) + \omega_{Y_1} \sum J_i^z \omega_i \\ J^{Y_1} \dot{\omega}_{Y_1} + \omega_{X_1} \omega_{Z_1} (J^{X_1} - J_i^{Z_1}) - \omega_{X_1} \sum J_i^z \omega_i \\ J^{Z_1} \dot{\omega}_{Z_1} + J_i^z \dot{\omega}_i + \omega_{X_1} \omega_{Y_1} (J^{Y_1} - J^{X_1}) \end{vmatrix} = \begin{vmatrix} M_{X_1}^e \\ M_{Y_1}^e \\ M_{Z_1}^e \end{vmatrix} \quad (25)$$

Тогда с учётом (12) и (25) система дифференциальных уравнений, описывающих движение квадрокоптера, может быть представлена в виде:

$$\begin{cases} m\ddot{X} = (\sin \psi \sin \varphi + \cos \psi \cos \varphi \sin \theta) \cdot \sum F_i \\ m\ddot{Y} = (\cos \varphi \sin \psi \sin \theta - \cos \psi \sin) \cdot \sum F_i \\ m\ddot{Z} = \cos \varphi \cos \theta \cdot \sum F_i - mg \\ J^{X_1} \dot{\omega}_{X_1} + \omega_{Y_1} \omega_{Z_1} (J_i^{Z_1} - J^{Y_1}) + \omega_{Y_1} \sum J_i^z \omega_i = M_{X_1}^e \\ J^{Y_1} \dot{\omega}_{Y_1} + \omega_{X_1} \omega_{Z_1} (J^{X_1} - J_i^{Z_1}) - \omega_{X_1} \sum J_i^z \omega_i = M_{Y_1}^e \\ J^{Z_1} \dot{\omega}_{Z_1} + J_i^z \dot{\omega}_i + \omega_{X_1} \omega_{Y_1} (J^{Y_1} - J^{X_1}) = M_{Z_1}^e \end{cases} \quad (26)$$

Систему уравнений (26) необходимо решать совместно с кинематическими соотношениями, выражающими связь проекций угловой скорости аппарата и углов крена, тангажа и рысканья:

$$\begin{cases} \dot{\varphi} = \omega \bar{\sigma}_1 - (\omega_{Z_1} \cos \varphi - \omega_{Y_1} \sin \varphi) \operatorname{ctg} \theta \\ \dot{\theta} = \omega_{Z_1} \sin \varphi + \omega_{Y_1} \cos \varphi \\ \dot{\psi} = \frac{1}{\cos \theta} (\omega_{Z_1} \cos \varphi - \omega_{Y_1} \sin \varphi) \end{cases} \quad (27)$$

Связь между угловой скоростью пропеллеров и величиной управляющих напряжений, поступающих на электродвигатели запишем в виде [Емельянова и др 2013a], [Емельянова и др 2013b]:

$$\dot{\Omega}_i = \frac{-\frac{\tilde{n}_E \tilde{n}_M}{R} \eta N^2 \Omega_i - d \Omega_i^2 + \frac{\tilde{n}_M}{R} \eta N u_i(x, y, z, \varphi, \theta, \psi)}{\left( J_p + \eta N^2 J_M \right)}, \quad i = 1-4 \quad (29)$$

где  $K_M$  – коэффициент пропорциональности, называемый постоянной момента электродвигателя;  $N = \omega_i / \Omega_i$  – передаточное отношение редуктора, равное скорости электродвигателя  $\omega_i$  разделить на скорость пропеллера  $\Omega_i$ ;  $\eta$  – коэффициент эффективности (кпд), который связывает механическую энергию оси двигателя и пропеллера;  $J_p, J_M$  – момент инерции ротора вокруг оси винта и оси мотора соответственно;  $c_E, c_{Mi}$  – коэффициенты пропорциональности, называемые соответственно постоянной ЭДС двигателя и момента электродвигателя;  $d$  – аэродинамическая постоянная;  $R$  – активное сопротивление обмотки ротора.

Особый интерес представляет собой выбор стратегии управления, которая обеспечивает движение объекта по заданной траектории с заданной точностью и быстродействием и описывается функцией:  $u_i = u_i(x, y, z, \varphi, \theta, \psi)$ .

Пропорциональное управление по отклонению можно представить в виде:

$$u_i = u_i(x, y, z, \varphi, \theta, \psi) = u_{0i} \pm \Delta x k_x \pm \Delta y k_y \pm \Delta z k_z \pm \Delta \varphi k_\varphi \pm \Delta \theta k_\theta \pm \Delta \psi k_\psi \quad (30)$$

где  $u_{0i}$  – постоянное напряжение питания;  $k_j$  – коэффициенты приращения;  $\Delta x, \Delta y, \Delta z, \Delta \varphi, \Delta \theta, \Delta \psi$  – значения ошибок.

Для определения желаемой траектории движения и ориентации объекта в пространстве необходимо знать зависимость координат центра масс квадрокоптера от времени. Решение системы нелинейных дифференциальных уравнений (26), (27), (29), (30) осуществляется путем численного интегрирования, что позволяет найти зависимости  $x(t), y(t), z(t), \varphi(t), \theta(t), \psi(t)$  и провести моделирование движения летающего робота.

## Выводы

Предложена расчетная схема и математическая модель пространственного движения квадрокоптера, учитывающая гироскопические эффекты, вращающиеся винты, массогабаритные свойства четырёх электроприводов, снабженных редуктором, кинематические связи, свойства электродвигателей, алгоритмы выработки управляющих воздействий.

В дальнейшем планируется создать адаптивный алгоритм, который заключается в использовании различных методик стабилизации по трем углам  $\psi$ ,  $\theta$ ,  $\varphi$  для различных режимов и условий полёта. Решить задачу оптимального синтеза по критерию быстродействия при перемещении квадрокоптера из одной точки в другую. Выбрать области рациональных параметров, определяющих оптимальную работу приводов квадрокоптера в различных режимах для ПИД и логического регулятора.

## Список литературы

- [Емельянова и др 2013а] Емельянова О.В., Попов Н. И., Яцун С. Ф. Моделирование движения квадроскопического летающего робота Актуальные вопросы науки. Материалы VIII Международной научно-практической конференции. Москва, Спутник+.2013.с.6-8.
- [Емельянова и др 2013б] Емельянова О.В., Попов Н. И., Яцун С. Ф. Моделирование движения квадрокоптера в пространстве // Авиакосмические технологии (АКТ-2013). Труды XIV Всероссийской научно-технической конференции и школы молодых ученых, аспирантов и студентов. – Воронеж: ООО Фирма «Элист», 2013. –С.131-138.
- [Попов и др 2014а] Попов Н.И., Емельянова О.В., Яцун С.Ф., Савин А.И. Исследование колебаний квадрокоптера при внешних периодических воздействиях // Фундаментальные исследования. – 2014. – № 1. – стр. 28-32.
- [Попов и др 2014б] Попов Н.И., Емельянова О.В. Динамические особенности мониторинга воздушных линий электропередачи с помощью квадрокоптера // Современные проблемы науки и образования. – 2014. – № 2; URL: <http://www.science-education.ru/116-12773> (дата обращения: 16.04.2014).
- [Павловский и др 1990] Павловский М.А., Акинфеев Л.Ю., Бойчук О.Ф. Теоретическая механика. Динамика.-К.: Выща шк., 1990.-480 с.
- [Bresciani, 2008] T.Bresciani. Modeling, identification and control of a quadrotor helicopter. Master's thesis, Department of Automatic control, Lund University, October 2008, p.170.
- [Tahar, 2011] M.Tahar, K.M.Zemalache, A. Omari Control of under-actuated X4-flyer using indegral Backstepping controller. Przegląd elektrotechniczny (Electrical review), ISSN 0033-2097, R.87 NR 10/2011, pages251-256.